

| | | | |
|--|----------------------------|---|---------------------------------|
| Rapport nr.: 2003.003 | | ISSN 0800-3416 | Gradering: Åpen |
| Tittel: Geofysiske og geologiske undersøkelser av Solem klebersteinsforekomst, Midtre Gauldal kommune, Sør-Trøndelag. | | | |
| Forfatter: Torleif Lauritsen og Tor Grenne. | | Oppdragsgiver: Nidaros Domkirkes Restaureringsarbeider/NGU | |
| Fylke: Sør-Trøndelag | | Kommune: Midtre Gauldal | |
| Kartblad (M=1:250.000) Røros | | Kartbladnr. og -navn (M=1:50.000) 1620 IV, Budal | |
| Forekomstens navn og koordinater: Solem klebersteinsforekomst 574583 6980341 Sone 32V, Datum WGS84 | | Sidetall: 32 Kartbilag: 0 | Pris: 80,- |
| Feltarbeid utført: Oktober 2002 | Rapportdato: 20.01.2003 | Prosjektnr.: 2945.01 | Ansvarlig: <i>M. A. Sævi</i> |
| <p>Sammendrag:</p> <p>NGU har på oppdrag fra Nidaros Domkirkes Restaureringsarbeider (NDR) utført geofysiske og geologiske undersøkelser av Solem klebersteinsforekomst. NDR ønsket på bakgrunn av kjerneboringer i 2000 å få undersøkt utbredelsen av klebersteinen under overdekket ved hjelp av magnetiske bakkemålinger og geologisk kartlegging. Arbeidet ble gjennomført i oktober 2002.</p> <p>Det er også utført petrofysiske laboratoriemålinger på bergartsprøver og borkjerneprøver i området. Dette for å finne hvilke bergarter som bidrar til anomalibildet. Målingene viser at klebersteinen er klart mer magnetisk enn andre påviste bergarter i området.</p> <p>En sannsynlig og to mulige forekomster av kleber blokkstein er påvist ved undersøkelsene. Forekomstene har form av linser med bredde inntil 50 meter og lengde mellom 60 og 110 meter. Forekomstene ligger mindre enn 130 meter fra bilvei, i skrånende terreng som består i hovedsak av dyrket mark med tynt jorddekke. Kvaliteten av klebersteinen er ukjent i den nordlige og den østlige forekomsten på grunn av fullstendig overdekning. I den sydlige forekomsten er det størst potensiale for lite oppsprukket og massiv stein i dens nordlige halvdel.</p> <p>Kvaliteten av klebersteinen i de tre forekomstene kan kartlegges med avdekking, rensking og prøvetaking langs grøfter på tvers av lengdeutstrekningen, eventuelt med tillegg av kjerneboring for å teste variasjonene dypere under fjelloverflaten.</p> | | | |
| Emneord: Geofysikk | Geologi | Magnetometri | |
| Bakkemålinger | Petrofysikk | Kleberstein | |
| Naturstein | | Fagrapport | |

INNHOOLD

| | |
|--|---|
| 1. INNLEDNING..... | 4 |
| 2. MÅLEMETODE, UTFØRELSE OG PROSESSERING | 4 |
| 3. RESULTATER OG TOLKING..... | 5 |
| 3.1 Magnetometri | 5 |
| 3.2 Petrofysikk | 5 |
| 3.3 Geologi..... | 5 |
| 4. KONKLUSJON OG ANBEFALINGER..... | 7 |
| 5. REFERANSE..... | 7 |

KARTBILAG:

Kartbilag 2003.003-01: Oversiktskart, M 1:50 000

-02: Magnetiske målepunkter, M 1:3000

-03: Magnetisk residualfelt og borehullsplasseringer, M 1:3000

FIGURER

Figur 1: Oversiktskart over undersøkt område, M 1:50 000

Figur 2: Magnetiske målepunkter, M 1:3000

Figur 3: Magnetisk residualfelt med borehullsplasseringer, M 1:3000

Figur 4: Lab.målinger av magnetisk susceptibilitet på Kleberstein

Figur 5: Lab.målinger av magnetisk susceptibilitet på Amfibolitt

Figur 6: Lab.målinger av magnetisk susceptibilitet på Glimmerskifer

Figur 7: Lab.målinger av magnetisk susceptibilitet på Kvartsitt

Figur 8: Geologisk tolkningskart, M 1:2000

TABELLER

Tabell 1: Stedfestingsdata for magnetiske profiler

Tabell 2: Stedfestingsdata for borehull

Tabell 3: Prøveliste for susceptibilitetsmålinger på bergartsprøver fra Solem
kebersteinsforekomst og andre lokaliteter i Budal.

TEKSTBILAG

Tekstbilag 1: Magnetometri – metodebeskrivelse

DATABILAG

Databilag 1: Magnetisk totalfelt, profil 800 Y

Databilag 2: Magnetisk totalfelt, profil 850 Y

Databilag 3: Magnetisk totalfelt, profil 900 Y

Databilag 4: Magnetisk totalfelt, profil 925 Y

Databilag 5: Magnetisk totalfelt, profil 950 Y

Databilag 6: Magnetisk totalfelt, profil 975 Y

Databilag 7: Magnetisk totalfelt, profil 1000 Y

Databilag 8: Magnetisk totalfelt, profil 1025 Y

Databilag 9: Magnetisk totalfelt, profil 1050 Y

Databilag 10: Magnetisk totalfelt, profil 1075 Y

Databilag 11: Magnetisk totalfelt, profil 1100 Y

Databilag 12: Magnetisk totalfelt, profil 1125 Y

Databilag 13: Magnetisk totalfelt, profil 1150 Y

Databilag 14: Magnetisk totalfelt, profil 1200 Y

Databilag 15: Magnetisk totalfelt, profil 1275 Y

Databilag 16: Magnetisk totalfelt, linje 1000 X

1. INNLEDNING

Ved Solem i Budalen (Midtre Gauldal kommune) ble det i årene 1878-1893 tatt ut kleberstein i små mengder til restaurering av Nidarosdomen. Steinen er av god kvalitet til hugging, og Nidaros Domkirkes Restaureringsarbeider (NDR) har ønsket å få undersøkt om det finnes reserver av tilstrekkelig kvalitet for uttak til fremtidig restaurering. Høsten 2000 ble det foretatt sonderende kjerneboring av den sterkt overdekkede forekomsten (Heldal 2000). Undersøkelsene viste at klebersteinen har en interessant utbredelse og at den er av gjennomgående god kvalitet for hugging. Tre av de fire borkjernene hadde imidlertid mye talk-karbonatårer og –sprekker, noe som kan gjøre det vanskelig å ta ut tilstrekkelige mengder med bra blokkstørrelser. Det nordligste borehullet (bh 4), som var satt lengst fra det gamle bruddet, viste en mer homogen kleberstein med relativt få sprekker. NDR ønsket på denne bakgrunn å få undersøkt utbredelsen av klebersteinen under overdekket ved hjelp av magnetiske bakkemålinger og geologisk kartlegging. Arbeidet ble gjennomført i oktober 2002.

Det undersøkte området er vist på oversiktskart i figur 1. De magnetiske bakkemålingene (figur 3) viser at den kjente forekomsten ligger innenfor en klart avgrenset magnetisk anomali (A), og at tre andre anomale områder (B, C og D) påvises NNØ og NNV for denne.

Det er også utført petrofysiske laboratoriemålinger på bergartsprøver og borkjerneprøver i området. Dette for å finne hvilke bergarter som bidrar til anomalibildet. Målingene er utført ved petrofysisk laboratorium ved NGU og viser at klebersteinen er klart mer magnetisk enn andre påviste bergarter i området.

2. MÅLEMETODE, UTFØRELSE OG PROSESSERING

De magnetiske målingene er utført langs profiler i et egendefinert koordinatsystem hvor Y-retning går langs antatt strøkretning for klebersteinen og X-retning (profilretning) går på tvers av strøket (figur 2). Profilene er merket i terrenget med trestikker påskrevet koordinater for hver 25 m. Stikkene er satt ut med kompass og målebånd. Profilenes endepunkter er i tillegg koordinatfestet i UTM- og NGO-koordinater ved hjelp av GPS eller hentet fra økonomisk kart i målestokk 1:5000. Stedfestingsdata er presentert i tabell 1 og vist i figur 2.

De magnetiske målingene ble utført som totalfeltmålinger. Disse målingene gir i hovedtrekk opplysninger om berggrunnens magnetittinnhold. En kort beskrivelse av målemetoden er gitt i tekstbilag 1.

Målingene ble utført med et protonmagnetometer av type Scintrex ENVI-MAG med en målenøyaktighet på ± 1 nT. Målesonden ble holdt 2 meter over bakken. Hver målingsvarighet ble satt til 2 sekunder, som gir en følsomhet på 0.1 nT. Et protonmagnetometer av type Scintrex MP-3 ble benyttet som basemagnetometer (plassert ved NGU i Trondheim) for korrigerende av daglig variasjoner i magnetfeltet. Dette instrumentet har en målenøyaktighet på ± 1 nT. De magnetiske forholdene var relativt stabile i måleperioden.

3. RESULTATER OG TOLKING

3.1 Magnetometri

Resultatene fra de magnetiske bakkemålingene er presentert som kurveplott i databilagene 1-16 og som konturkart i farger i figur 3. Konturkartet er fremstilt som magnetisk residualfeltkart ved at de målte totalfeltsverdiene er fratrukket et normalfelt for området. Normalfeltet er satt til 51000 nT og dette er valgt som 0-nivå på fargeskalaen. I tillegg er kartene forsynt med koter for hver 20 nT og 100 nT.

Kartet viser i grove trekk at borehullene ligger innenfor en markert magnetisk anomali på 40 m x 110 m (anomali A, figur 3). Anomalien representerer trolig utgående (under overdekket) av en klebersteinskropp som, ut i fra anomalibildet, ser ut til å falle mot ØSØ (se også figur 8). Tre andre interessante anomaliområder med flere lokale, men svakere toppe, sees henholdsvis NNØ (B) og ØNØ (C) for borehullene samt en langstrakt magnetisk sone i NV (D). Mulig årsaken til disse anomaliene diskuteres i kapittel 3.3.

3.2 Petrofysikk

Det er utført laboratoriemålinger av magnetisk susceptibilitet (petrofysiske målinger) på 36 borkjerneprøver og bergartsprøver fra Solem og andre lokaliteter i Budal. Prøvene fordeler seg på 4 bergartstyper (Kleberstein, Amfibolitt, Glimmerskifer og grafitrik Kvartsitt). Susceptibilitet er et tall for bergartenes evne til å la seg magnetisere av det jordmagnetiske feltet. Resultatet av målingene er vist i tabell 3 og som stolpediagram i figurene 4-7. Diagrammene synliggjør fordeling og variasjon av målt susceptibilitet for hver bergart, dvs. hvor stor spredning det er i susceptibiliteten og hvilken susceptibilitetsverdi som er den hyppigst forekommende (n=antall prøver som er målt).

Figurene viser at klebersteinsprøvene er klart mer magnetiske (større susceptibilitet) enn de øvrige bergarter. En antar derfor at høymagnetiske anomalier (store positive avvik) i området skyldes kleberstein, og at andre kartlagte bergarter gir ingen eller svake utslag.

Tallverdiene (tabell 3) gir en svak indikasjon på at klebersteinsprøver i borehull 4 er mer magnetisk enn prøver fra de andre borehullene.

3.3 Geologi

Klebersteinen ved Solem er av en gråblå, nokså finkornet type som ifølge Heldal (2000) består hovedsakelig av talk, karbonat og kloritt. Den har oftest et massivt utseende, men i enkelte partier er det utviklet en svak foliasjon (skifrihet/kløv). Bergartene i området tilhører samme geologiske hovedenhet (Gulagruppen) som de ved Bubakkforekomsten på Kvikne, men i motsetning til Bubakk er det ikke kjent serpentinit ved Solem. Undersøkelsene i 2002 tyder på at skifriheten finnes mest langs randsonen av forekomsten, i partier av borehull 2 som trolig er nært østgrensen, samt innerst i det gamle bruddet som stopper mot vestgrensen av klebersteinen (Figur 8). En liten blotning som ligger tett ved selve grensen litt syd for bruddet viser en sterkt forskifret og mer grovkornet kleberstein med relativt mye karbonatpetter. Klebersteinen danner en sone som strekker seg SSV-NNØ og som i bruddområdet har en antatt bredde på ca. 40 meter. Vestgrensen er bestemt på grunnlag av blotninger, mens østgrensen er tolket fra de geofysiske målingene ettersom dette området er fullstendig overdekket.

Direkte VNV for klebersteinssonen finnes en 30-50 meter bred sone med grønnlig, finkornig amfibolitt som oftest har en markert skifrihet. Videre VNV er det en 50 meter bred sone som har en markert magnetisk anomali fra de geofysiske målingene (anomali D, figur 3), men som ikke har noen blotninger av fast fjell. På grunnlag av sammenligning med tilsvarende geologiske formasjoner i andre deler av Budalen tolkes denne sonen foreløpig som kvartsmuskovittskifer. Videre mot vest finnes en ny sone med amfibolitt og deretter finkornige kvartsitter som dels er rik på grafitt. Ingen blotninger er funnet på østsiden av klebersteinen, men det antas at bergartene her er biotittførende glimmerskifer som finnes i forlengelsen langs strøket mot NNØ.

Foliasjonsmålinger tyder på at klebersteinssonen og omgivende bergarter faller steilt mot ØSØ (fallvinkel mellom 65 og 80°). Noen steder finnes en markert lineasjon som stuper mellom 50° og 70° mot syd og som antas å være knyttet til foldestrukturer.

På grunnlag av det geofysiske anomalibildet og ovennevnte lineasjon tolkes klebersteinssonen å danne en tett Z-formet fold med aksestupning mot syd. Samtidig ser klebersteinen ut til å være nesten avsnørt flere steder, slik at den danner en rekke linseformede kroppar langs strøket (figur 8). Forekomsten omkring det gamle bruddet ser ut til å ha en utstrekning i dagen på omkring 40 x 110 meter og er meget godt avgrenset på grunnlag av geofysikken (anomali A, figur 3). Mot NNØ, under det skrånende jordet, finnes trolig en like lang men bredere forekomst med svakere magnetisk signatur (anomali B, figur 3). Denne ser ut til å være mer eller mindre sammenhengende med en tredje kropp av tilsvarende utstrekning som ligger NØ for det gamle bruddet, nederst på jordet ovenfor veien (anomali C, figur 3). Videre mot NNØ er det relativt svake magnetiske anomalier, og det er mer usikkert om disse representerer kleberstein av interessant kvalitet. Omkring 100 meter syd for det gamle bruddet stopper de geofysiske anomalier. Vi antar at dette skyldes en forkastning av bergartsenhetene. En fortsettelse av klebersteinssonen mot SSV er derfor meget usikker.

Målinger av magnetisk susceptibilitet i borkjernene gir en svak antydning om at klebersteinen med minst årer, oppsprekning og skifrihet er mest magnetisk (borehull 4). Dette samsvarer med feltmålinger ved hjelp av kappameter som viser lav susceptibilitet i den skifrige klebersteinen i kontaktsonen rett sør for bruddet. På kartet (figur 8) er utbredelsen av sannsynlig (A) og mulig kleberstein (B og C) av god blokksteins kvalitet basert på fordelingen av relativt sterke geofysiske anomalier, men det er sannsynlig at klebersteinen strekker seg ut over de markerte forekomstområdene.

Av forekomstområdene som er vist på figur 8 ligger det sydligste (A, med det gamle bruddet) med en halvdel i et myrlendt område med løvskog i syd. Den sydligste blotningen her (ovenfor en brønn ved bekken) ser ut til å ha relativt lite oppsprukket og god kleberstein, noe som kan indikere at deler av dette området kan være av interesse. Den nordlige halvdel av forekomstområdet ligger under et skrånende jorde med antatt løsmassetykkelse opp til omkring to meter. Borehull 4 er satt noe øst for midten av forekomsten, og det er gode muligheter for at de mer sentrale partiene har en like god eller bedre kvalitet enn det vi ser i borehullet.

Det nordlige (B) og det østlige (C) forekomstområdet ligger i sin helhet under det skrånende jordet ovenfor vegen. De er tegnet inn som "mulige" forekomster, ettersom de er tolket bare på grunnlag av geofysikk og ikke er blottet noe sted. Det nordlige (B) har trolig tynt overdekke (omkring to meter?), mens det østlige (C) som ligger nede på jordet antas å ha noe tykkere dekke av løsmasser. Begge disse forekomstene har en noe svakere magnetisk signatur

enn forekomsten omkring bruddet (A), noe som kan bety at kvaliteten er dårligere. Men i motsetning til det sydlige forekomstområdet ser disse forekomstene ut til å ligge i foldeombøyninger, og det kan tenkes at dette har påvirket kvalitetsforholdene i en gunstig retning uten at det gjenspeiles i magnetiske egenskaper.

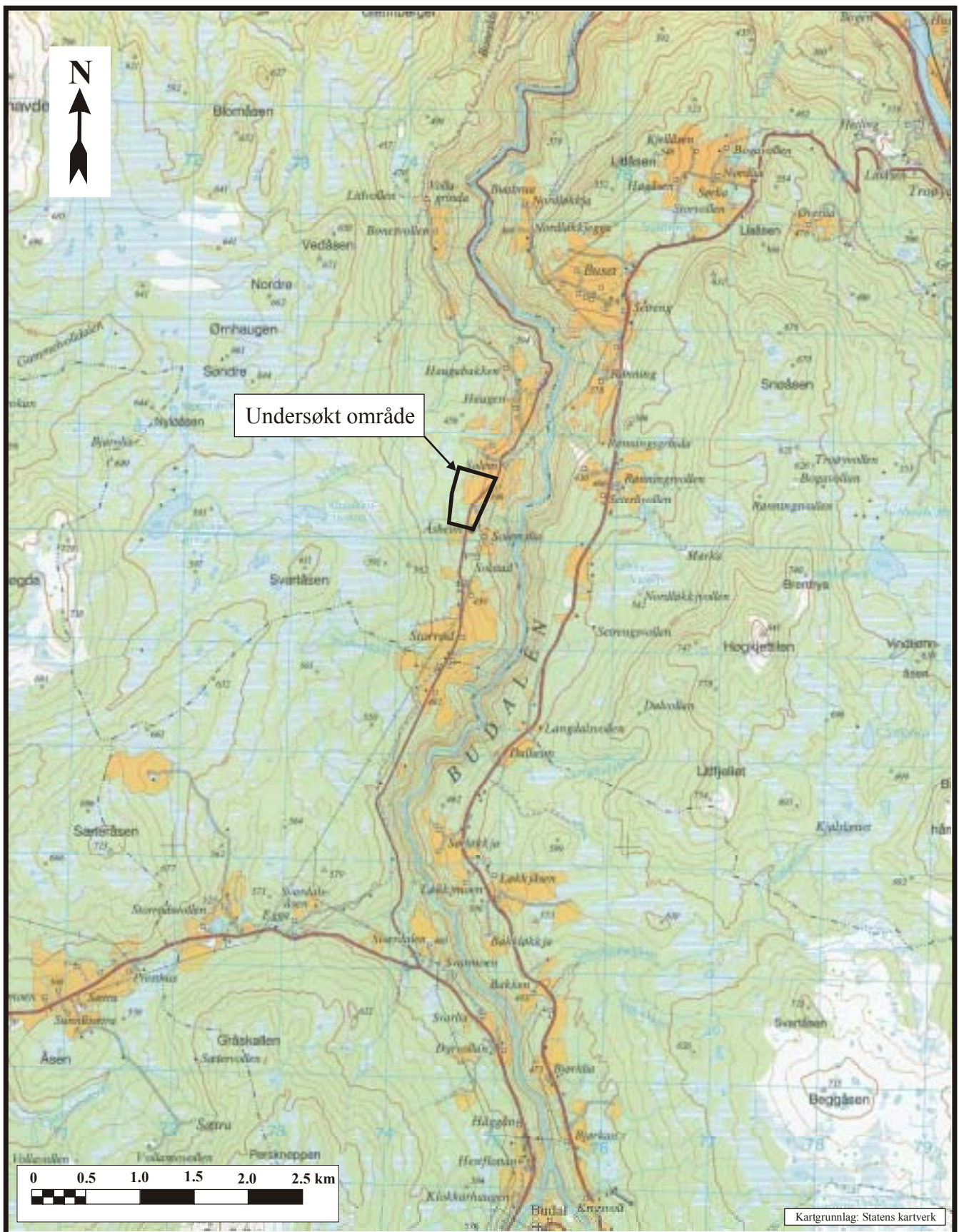
4. KONKLUSJON OG ANBEFALINGER

En sannsynlig (A) og to mulige (B og C) forekomster av kleber blokkstein er påvist ved magnetiske bakkemålinger ved Solem i Budalen. Forekomstene har form av linser med bredde inntil 50 meter og lengde mellom 60 og 110 meter. Forekomstene ligger mindre enn 130 meter fra bilveg, i skrånende terreng som består i hovedsak av dyrket mark med tynt jorddekke. Kvaliteten av klebersteinen er ukjent i den nordlige og den østlige forekomsten (B og C) på grunn av fullstendig overdekning. I den sydlige forekomsten (A) er det størst potensiale for lite oppsprukket og massiv stein i dens nordlige halvdel.

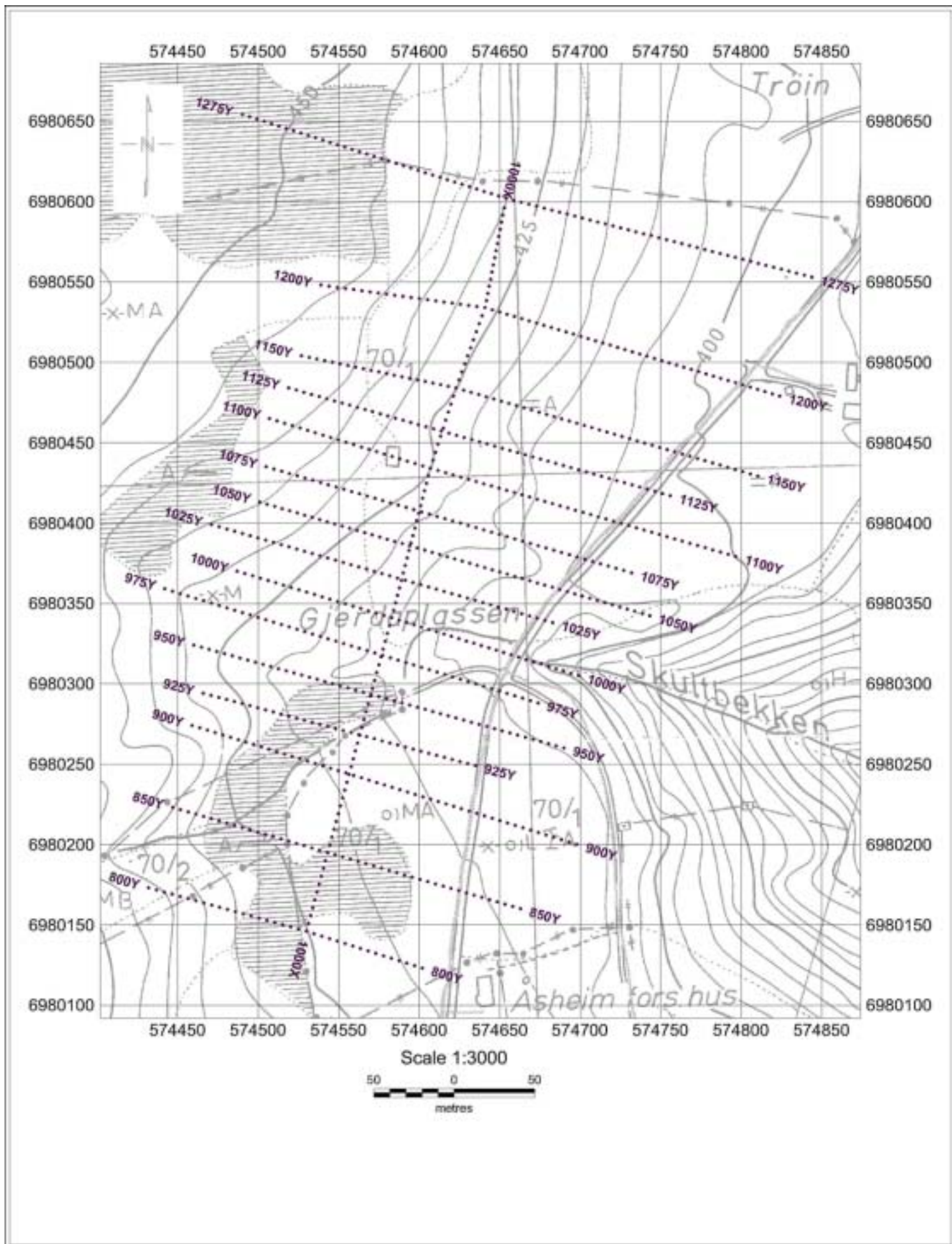
Kvaliteten av klebersteinen i de tre forekomstene kan kartlegges med avdekking, rensking og prøvetaking langs grøfter på tvers av lengdeutstrekningen, eventuelt med tillegg av kjerneboring for å teste variasjonene dypere under fjelloverflaten.

5. REFERANSE

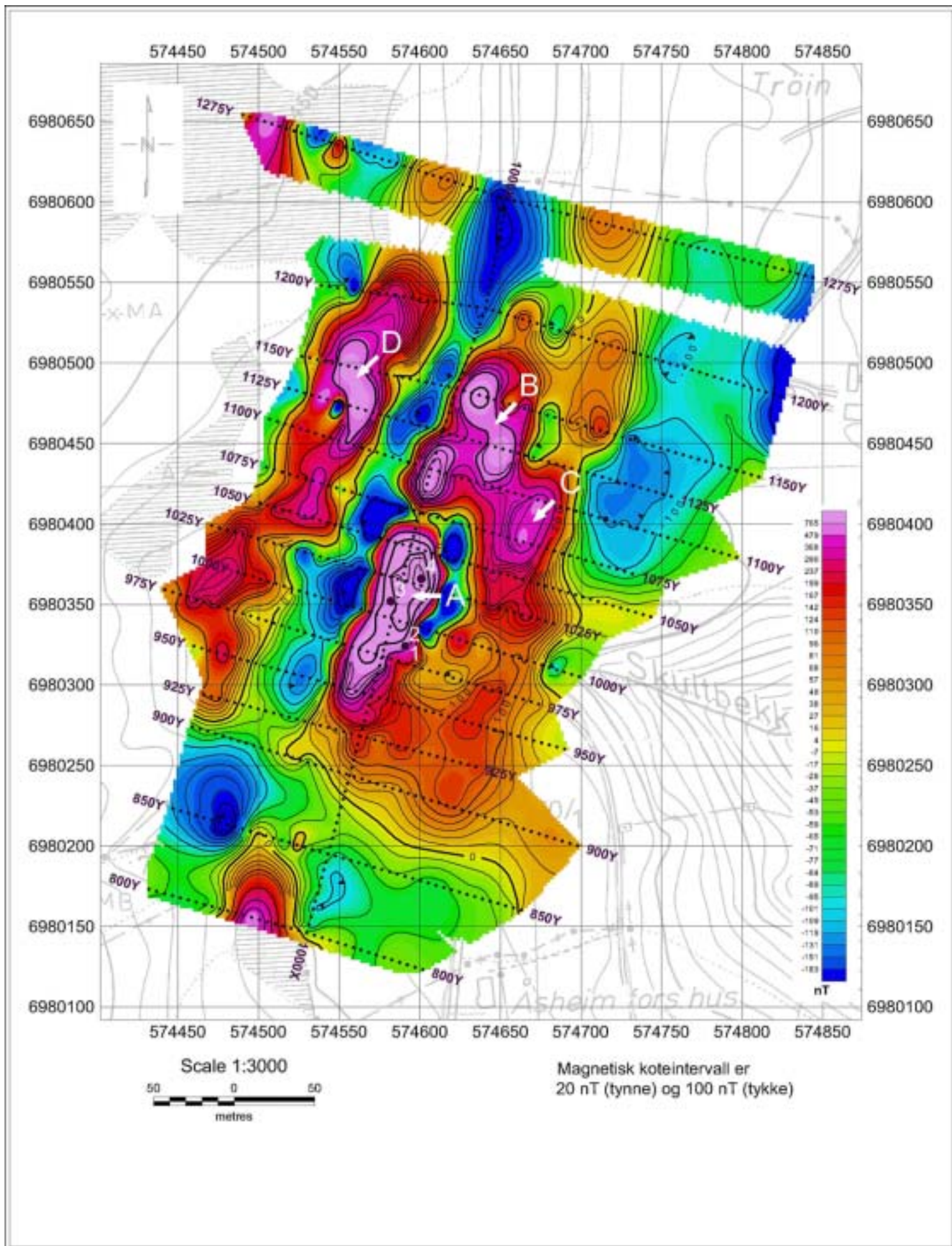
Heldal, T. 2000: Kjerneboring av klebersteinsforekomst ved Solem, Budal i Sør-Trøndelag. *NGU Rapport 2000.133. 7s.*



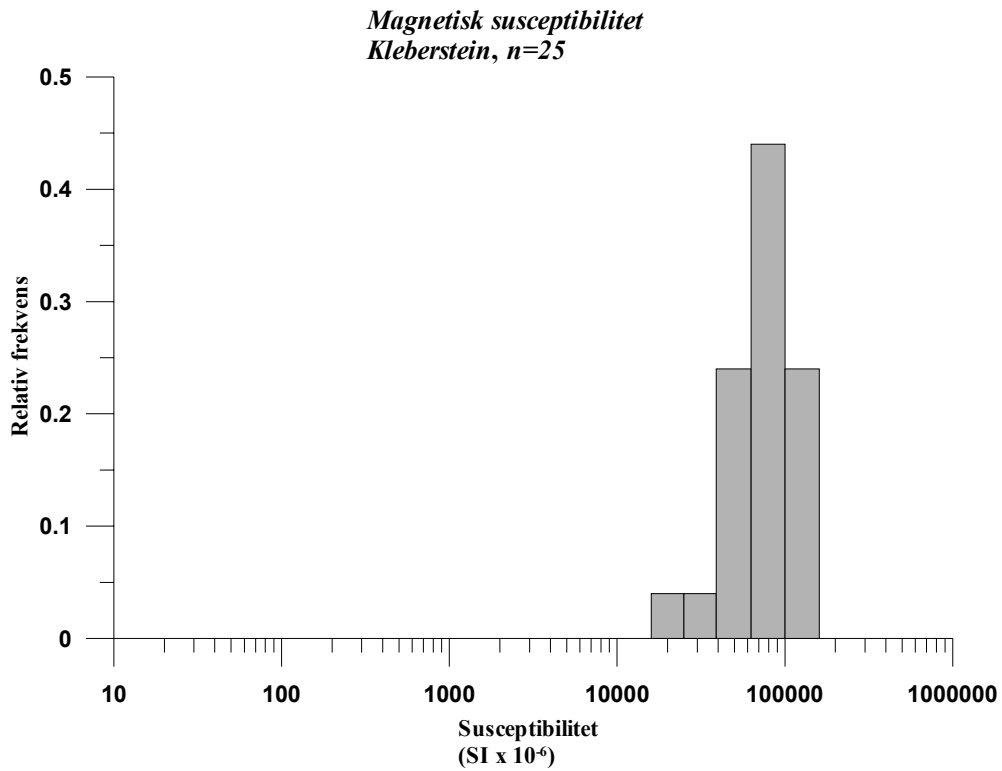
Figur 1: Oversiktskart over undersøkt område.



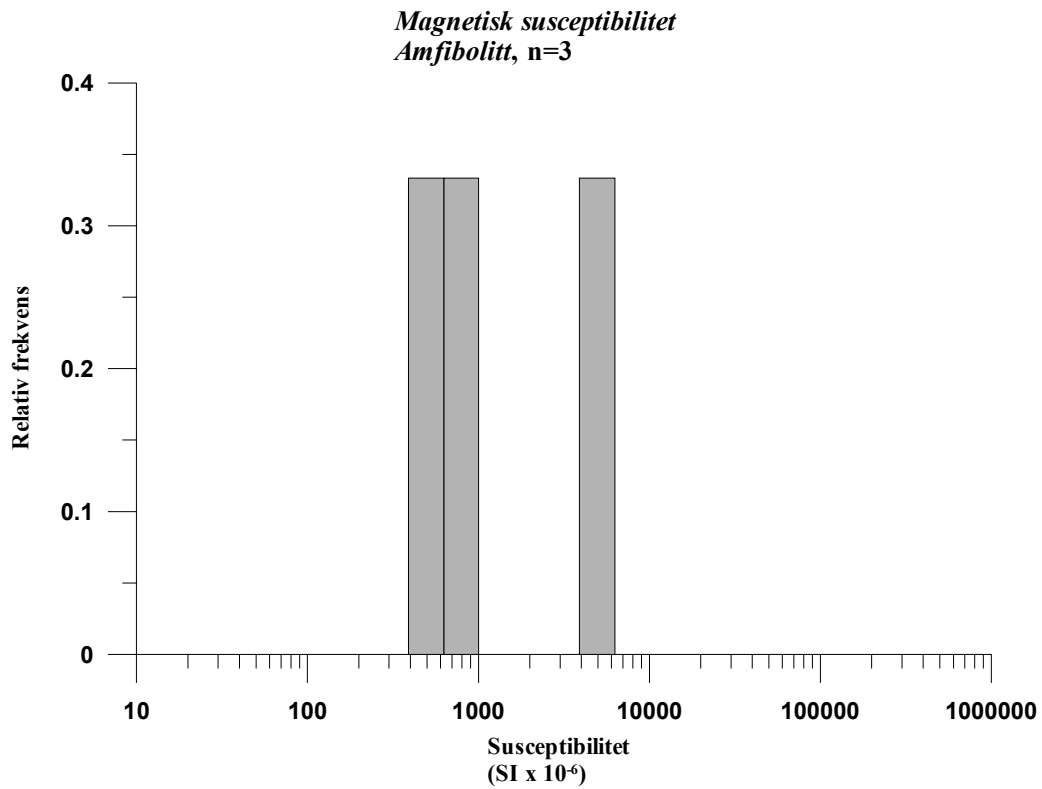
Figur 2: Magnetiske målepunkter.



Figur 3: Magnetisk residualkart med plassering av borehull.

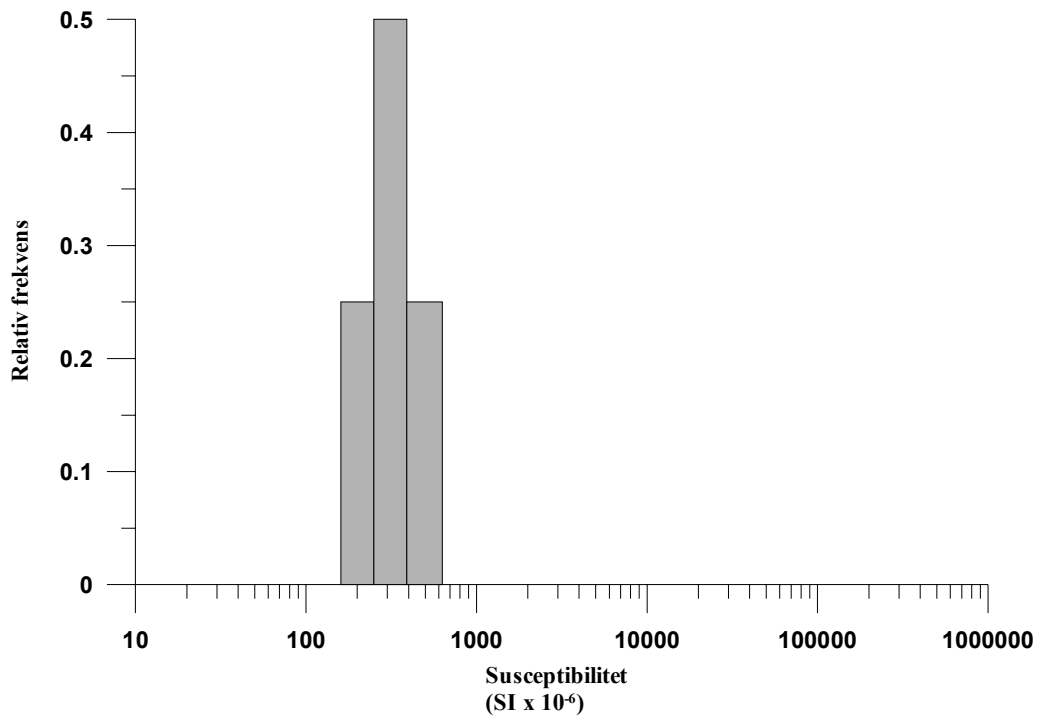


Figur 4: Lab.målinger av magnetisk susceptibilitet på Kleberstein.



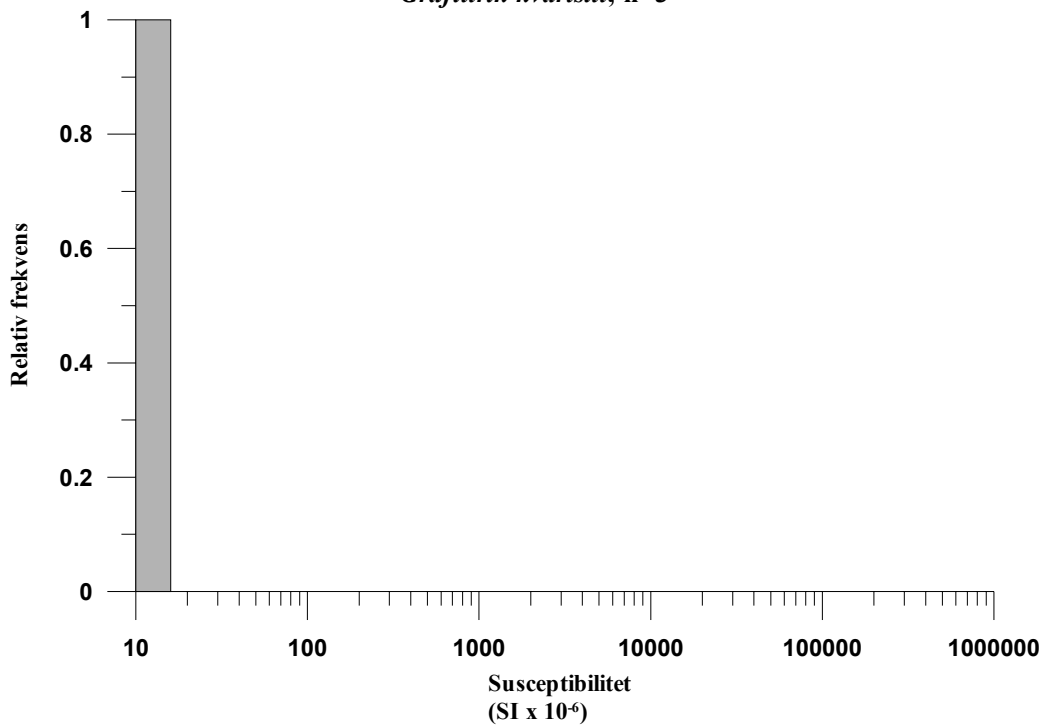
Figur 5: Lab.målinger av magnetisk susceptibilitet på Amfibolitt.

*Magnetisk susceptibilitet (lab.m linger)
Glimmerskifer, n=4*

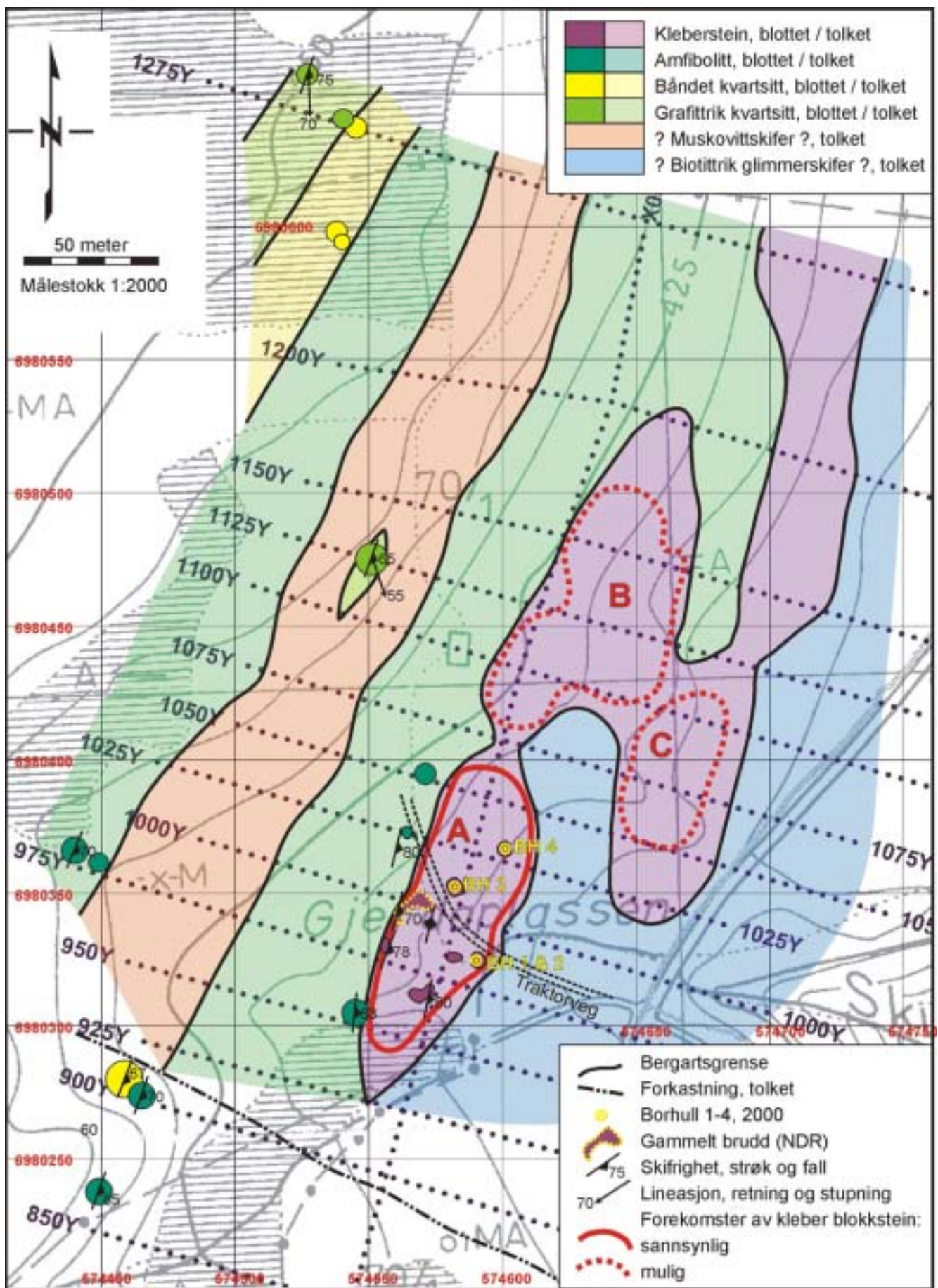


Figur 6: Lab.målinger av magnetisk susceptibilitet på Glimmerskifer.

*Magnetisk susceptibilitet
Grafittrikk kvartsitt, n=3*



Figur 7: Lab.målinger av magnetisk susceptibilitet på grafittrikk Kvartsitt.



Figur 8: Geologisk tolkningskart over Solem klebersteinsforekomst i Budalen, med sannsynlige og mulige forekomster (A, B og C) merket med rød strek. Kartet er tolket på grunnlag av magnetometriske målinger og geologiske observasjoner i fast fjell (blotninger). Blotningene er angitt på kartet med sirkler som vise usikkerhet av stedfesting basert på GPS-målinger. Målepunkter og profilinjer for geofysikk er vist med mørke punkter. UTM-koordinater (WGS84) er angitt med rød skrift i kartkanten.

| Y (Profil) | X | NGO1948 (Akse 3) | | UTM (Sone 32, WGS84) | | Målemetode |
|---------------|--------|---------------------|--------|-------------------------|---------|------------------------|
| | | Øst | Nord | Øst | Nord | |
| 800 Y | 900 X | -12740 | 550750 | 574432 | 6980173 | Fra øk. kart 1:5000 |
| | 1075 X | -12572 | 550695 | 574602 | 6980123 | GPS |
| 850 Y | 900 X | -12724 | 550799 | 574447 | 6980223 | GPS |
| | 1125 X | -12510 | 550731 | 574663 | 6980160 | GPS |
| 900 Y | 900 X | -12710 | 550850 | 574459 | 6980274 | Fra øk. kart 1:5000 |
| | 1150 X | -12473 | 550770 | 574698 | 6980200 | GPS |
| 925 Y | 900 X | -12703 | 550870 | 574466 | 6980294 | Fra øk. kart 1:5000 |
| | 1075 X | -12535 | 550820 | 574635 | 6980249 | Fra øk. kart 1:5000 |
| 950 Y | 885 X | -12708 | 550900 | 574460 | 6980324 | Fra øk. kart 1:5000 |
| | 1125 X | -12480 | 550830 | 574690 | 6980260 | Fra øk. kart 1:5000 |
| 975 Y | 860 X | -12725 | 550935 | 574442 | 6980359 | Fra øk.kart 1:5000 |
| | 1100 X | -12495 | 550858 | 574674 | 6980288 | Fra øk.kart 1:5000 |
| 1000 Y | 900 X | -12680 | 550945 | 574487 | 6980370 | Fra øk.kart 1:5000 |
| | 1125 X | -12470 | 550875 | 574699 | 6980305 | Fra øk.kart 1:5000 |
| 1025 Y | 875 X | -12695 | 550975 | 574471 | 6980399 | Fra øk.kart 1:5000 |
| | 1095 X | -12485 | 550908 | 574683 | 6980338 | Fra øk.kart 1:5000 |
| 1050 Y | 900 X | -12665 | 550988 | 574501 | 6980413 | GPS |
| | 1160 X | -12425 | 550911 | 574743 | 6980342 | Fra øk.kart 1:5000 |
| 1075 Y | 900 X | -12660 | 551010 | 574505 | 6980435 | Fra øk.kart 1:5000 |
| | 1135 X | -12435 | 550938 | 574732 | 6980369 | Fra øk.kart 1:5000 |
| 1100 Y | 895 X | -12657 | 551040 | 574507 | 6980465 | Fra øk.kart 1:5000 |
| | 1200 X | -12371 | 550947 | 574797 | 6980379 | Fra øk.kart 1:5000 |
| 1125 Y | 900 X | -12645 | 551058 | 574519 | 6980484 | Fra øk.kart 1:5000 |
| | 1150 X | -12410 | 550985 | 574756 | 6980417 | Fra øk.kart 1:5000 |
| 1150 Y | 900 X | -12636 | 551078 | 574527 | 6980504 | GPS |
| | 1200 X | -12355 | 550995 | 574810 | 6980429 | Fra øk.kart 1:5000 |
| 1200 Y | 900 X | -12623 | 551122 | 574539 | 6980548 | GPS |
| | 1200 X | -12340 | 551045 | 574824 | 6980479 | GPS |
| 1275 Y | 820 X | -12669 | 551229 | 574490 | 6980654 | Fra øk.kart 1:5000 |
| | 1200 X | -12318 | 551119 | 574844 | 6980553 | GPS |

Tabell 1: Stedfestingsdata for magnetiske profiler.

| Borehull nr. | NGO1984 (Akse 3) | | UTM (Sone 32, WGS84) | | Målemetode |
|--------------|------------------|--------|----------------------|---------|------------|
| | Øst | Nord | Øst | Nord | |
| 1 | -12577 | 550896 | 574591 | 6980324 | GPS |
| 2 | -12577 | 550896 | 574591 | 6980324 | GPS |
| 3 | -12585 | 550925 | 574582 | 6980352 | GPS |
| 4 | -12566 | 550938 | 574601 | 6980366 | GPS |

Tabell 2: Stedfestingsdata for borehull

| Prøve nr. | Kartblad nr. (M711) | Sone | Koordinater (WGS84) | | Bergartsnavn | Susceptibilitet (SI x 10 ⁻⁶) |
|------------|---------------------|------|---------------------|---------|----------------------|--|
| | | | Øst | Nord | | |
| BH1-1 | 16204 | 32 | 574588 | 6980332 | Finkor.kleberstein | 19912.5 |
| BH1-2 | 16204 | 32 | 574588 | 6980332 | Fink.-mid.k.kleberst | 67648.7 |
| BH1-3 | 16204 | 32 | 574588 | 6980332 | Fink.mid.k.kleberst. | 67265.5 |
| BH1-4 | 16204 | 32 | 574588 | 6980332 | Fink.mid.k.kleberst. | 57548.7 |
| BH1-5 | 16204 | 32 | 574588 | 6980332 | Finkor.kleberstein | 67576.3 |
| BH3-6 | 16204 | 32 | 574582 | 6980352 | Finkor.kleberstein | 93267.9 |
| BH3-7 | 16204 | 32 | 574582 | 6980352 | Finkor.kleberstein | 102285.5 |
| BH3-8 | 16204 | 32 | 574582 | 6980352 | Fink.mid.k.kleberst. | 131138.0 |
| BH3-9 | 16204 | 32 | 574582 | 6980352 | Fink.mid.k.kleberst. | 61402.2 |
| BH3-10 | 16204 | 32 | 574582 | 6980352 | Fink.mid.k.kleberst. | 96889.9 |
| BH2-11 | 16204 | 32 | 574588 | 6980332 | Finkor.kleberstein | 99857.6 |
| BH2-12 | 16204 | 32 | 574588 | 6980332 | Finkor.kleberstein | 58467.9 |
| BH2-13 | 16204 | 32 | 574588 | 6980332 | Finkor.kleberstein | 32964.6 |
| BH2-14 | 16204 | 32 | 574588 | 6980332 | Finkor.kleberstein | 86918.0 |
| BH2-15 | 16204 | 32 | 574588 | 6980332 | Finkor.kleberstein | 39523.9 |
| BH2-16 | 16204 | 32 | 574588 | 6980332 | Finkor.kleberstein | 55817.6 |
| BH2-17 | 16204 | 32 | 574588 | 6980332 | Finkor.kleberstein | 69858.7 |
| BH2-18 | 16204 | 32 | 574588 | 6980332 | Finkor.kleberstein | 41602.6 |
| BH2-19 | 16204 | 32 | 574588 | 6980332 | Finkor.kleberstein | 68765.2 |
| BH2-20 | 16204 | 32 | 574588 | 6980332 | Karbonat-aggreg. | 305.1 |
| BH4-21 | 16204 | 32 | 574601 | 6980366 | Finkor.kleberstein | 91489.1 |
| BH4-22 | 16204 | 32 | 574601 | 6980366 | Finkor.kleberstein | 81539.0 |
| BH4-23 | 16204 | 32 | 574601 | 6980366 | Finkor.kleberstein | 139376.4 |
| BH4-24 | 16204 | 32 | 574601 | 6980366 | Finkor.kleberstein | 152551.6 |
| BH4-25 | 16204 | 32 | 574601 | 6980366 | Finkor.kleberstein | 111074.5 |
| TGST97-137 | 16203 | 32 | 586350 | 6956500 | Glimmerskifer | 241.8 |
| TGST97-139 | 16203 | 32 | 586300 | 6956550 | Bio-qtz,glimmerskif. | 346.7 |
| TGST97-140 | 16203 | 32 | 584650 | 6957450 | Bio-qtz,glimmerskif. | 475.3 |
| TGST97-141 | 16203 | 32 | 583150 | 6962650 | Bio-qtz,glimmerskif. | 378 |
| TG-02-72 | 16204 | 32 | 574570 | 6980359 | Kleberstein | 109987.7 |
| TG-02-73 | 16204 | 32 | 574571 | 6980395 | Amfibolitt | 645.3 |
| TG-02-97 | 16204 | 32 | 574813 | 6980957 | Grafittrik-kvartsitt | 0 |
| TG-02-98 | 16204 | 32 | 574527 | 6980657 | Grafittrik-kvartsitt | 13.2 |
| TG-02-99 | 16204 | 32 | 574465 | 6980274 | Amfibolitt | 588.1 |
| TG-02-100 | 16204 | 32 | 574551 | 6980476 | Grafittrik-kvartsitt | 0 |
| TG-02-101 | 16204 | 32 | 574450 | 6980366 | Amfibolitt | 4311.7 |

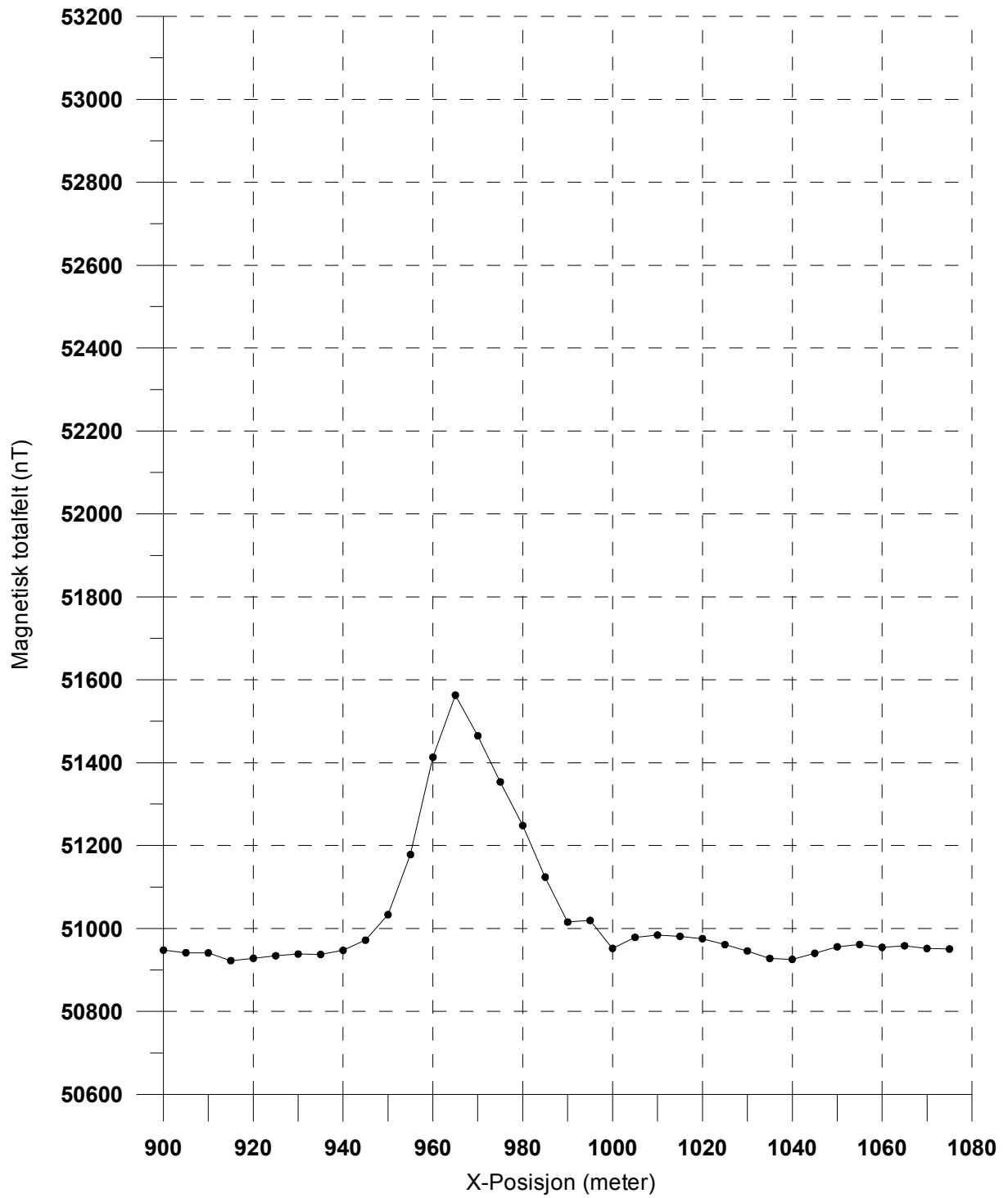
Tabell 3: Prøveliste for susceptibilitetsmålinger på borkjerner og berartsprøver fra Solem klebersteinsforekomst og andre lokaliteter i Budal.

MAGNETOMETRI - METODEBESKRIVELSE

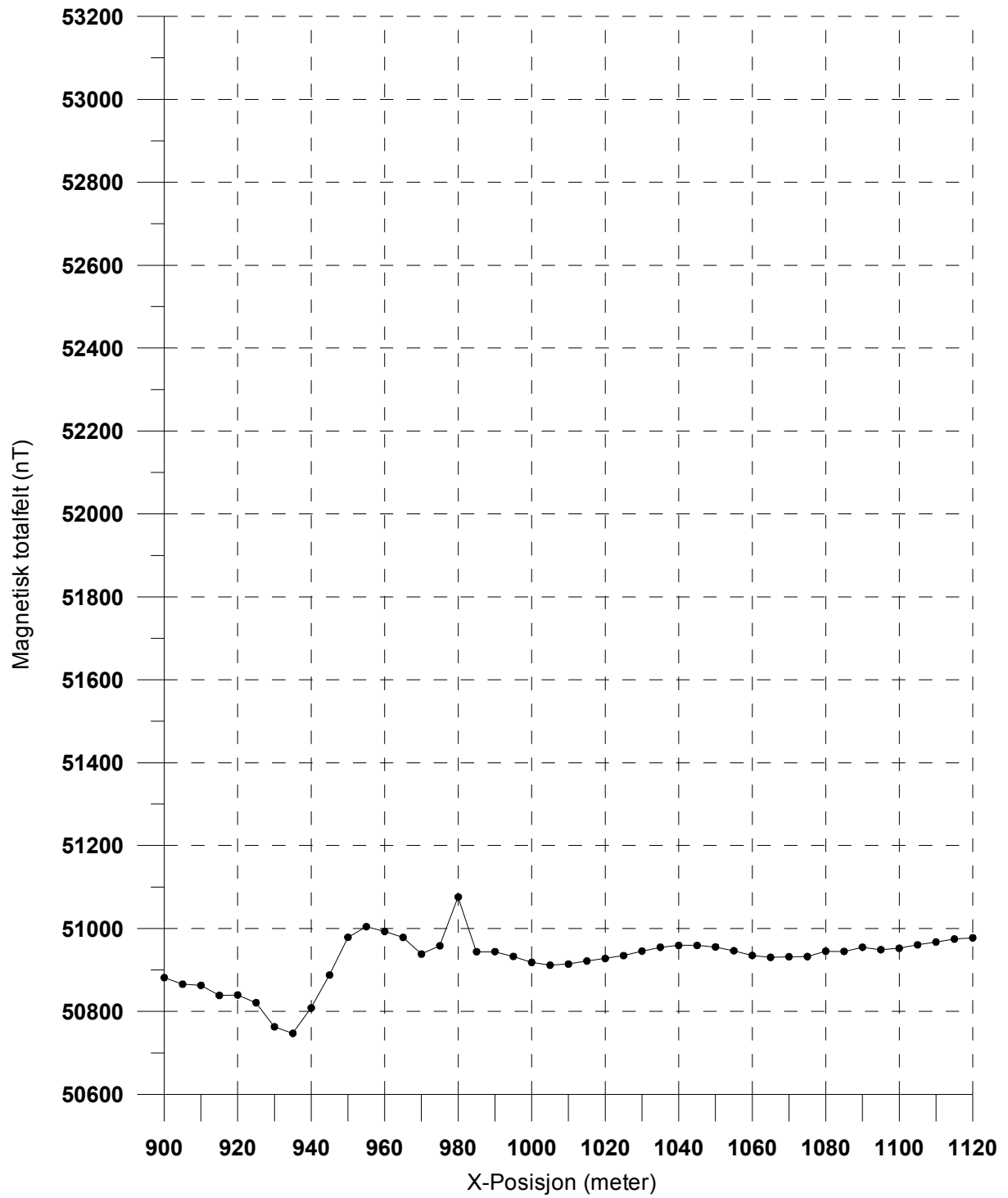
Ved magnetiske målinger kartlegges bergartenes magnetiske egenskaper. I praksis er det bare mineralet magnetitt som gir anomalier, og magnetiske målinger gir derfor et bilde av bergartenes magnetittinnhold. Ved undersøkelse av deponi/avfallsplasser vil jernholdige gjenstander kunne være opphav til magnetiske anomalier.

Metoden fungerer ved at magnetiserbare objekter som plasseres i jordas magnetfelt selv vil indusere et magnetfelt. Styrken av dette feltet vil være avhengig av objektets volum, dets evne til å la seg magnetisere (susceptibilitet) og geometri. Vanligvis er dette feltet rettet med jordfeltet, og den totale feltstyrken blir høyere enn stedets normale verdier (positive anomalier). På grunn av geometri og eventuell remanent magnetisering kan imidlertid det induserte feltet også svekke totalfeltet (negative anomalier).

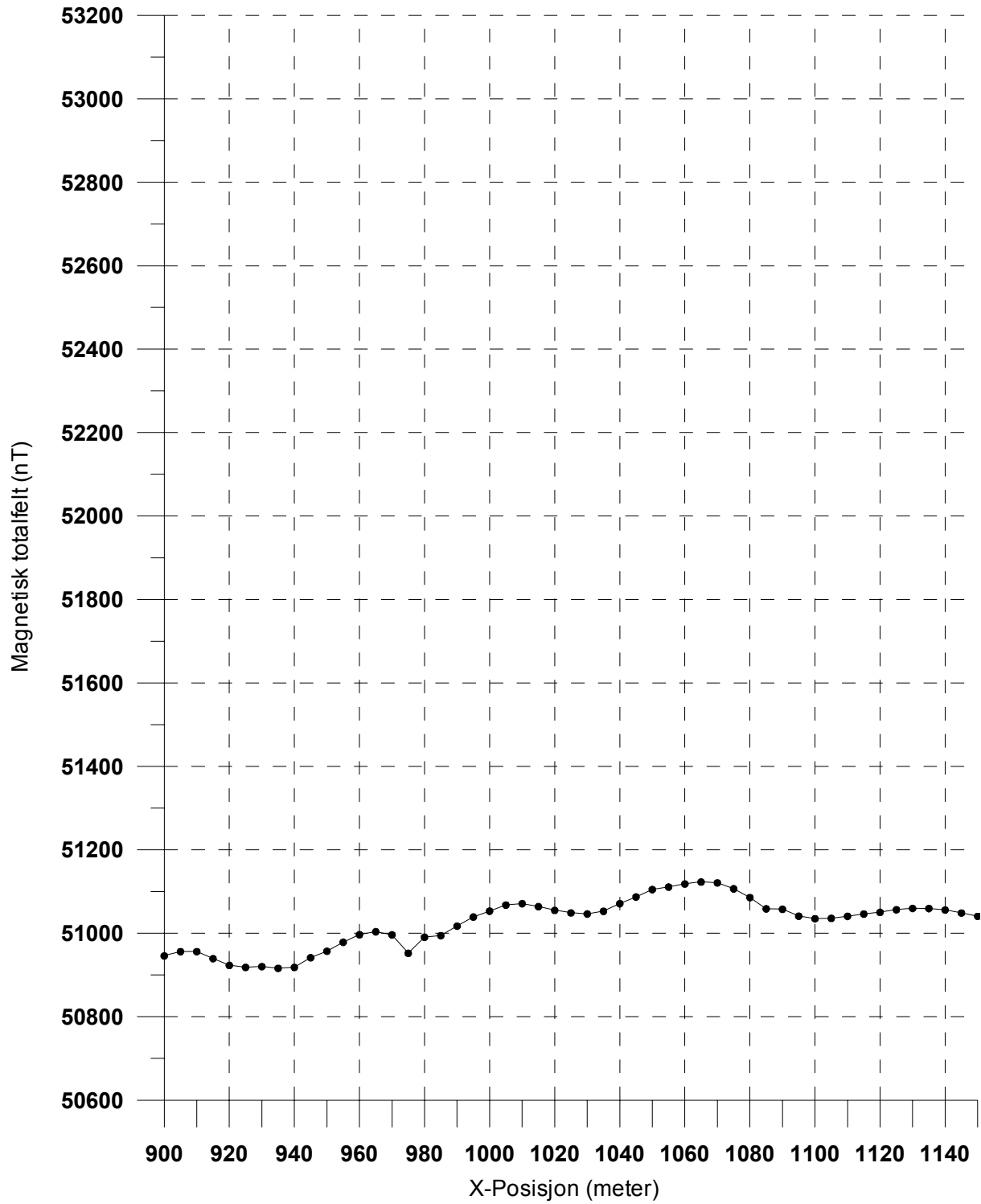
SOLEM KLEBERSTEINSFOREKOMST
Magnetisk totalfelt
Profil 800Y



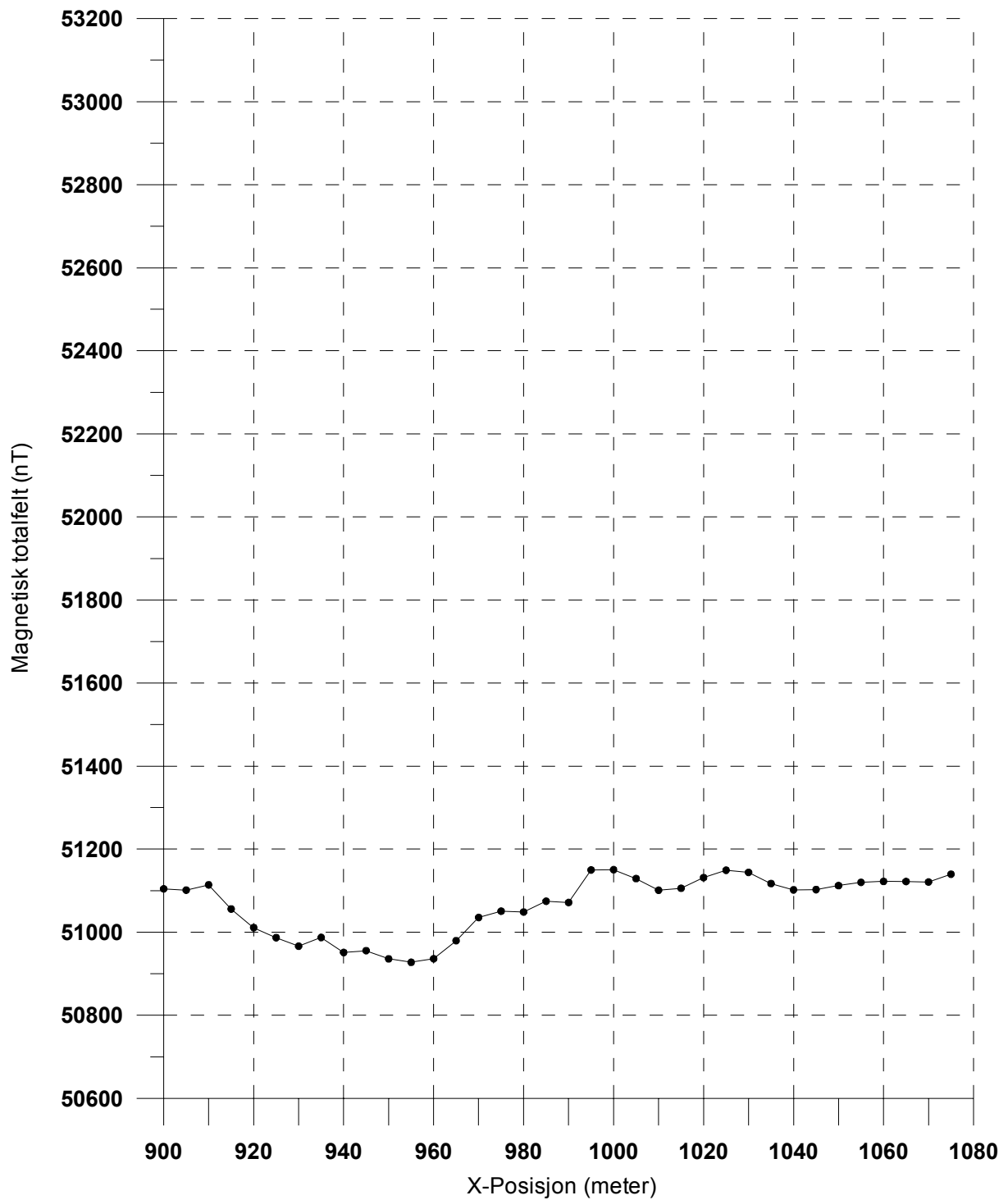
SOLEM KLEBERSTEINSFOREKOMST
Magnetisk totalfelt
Profil 850Y



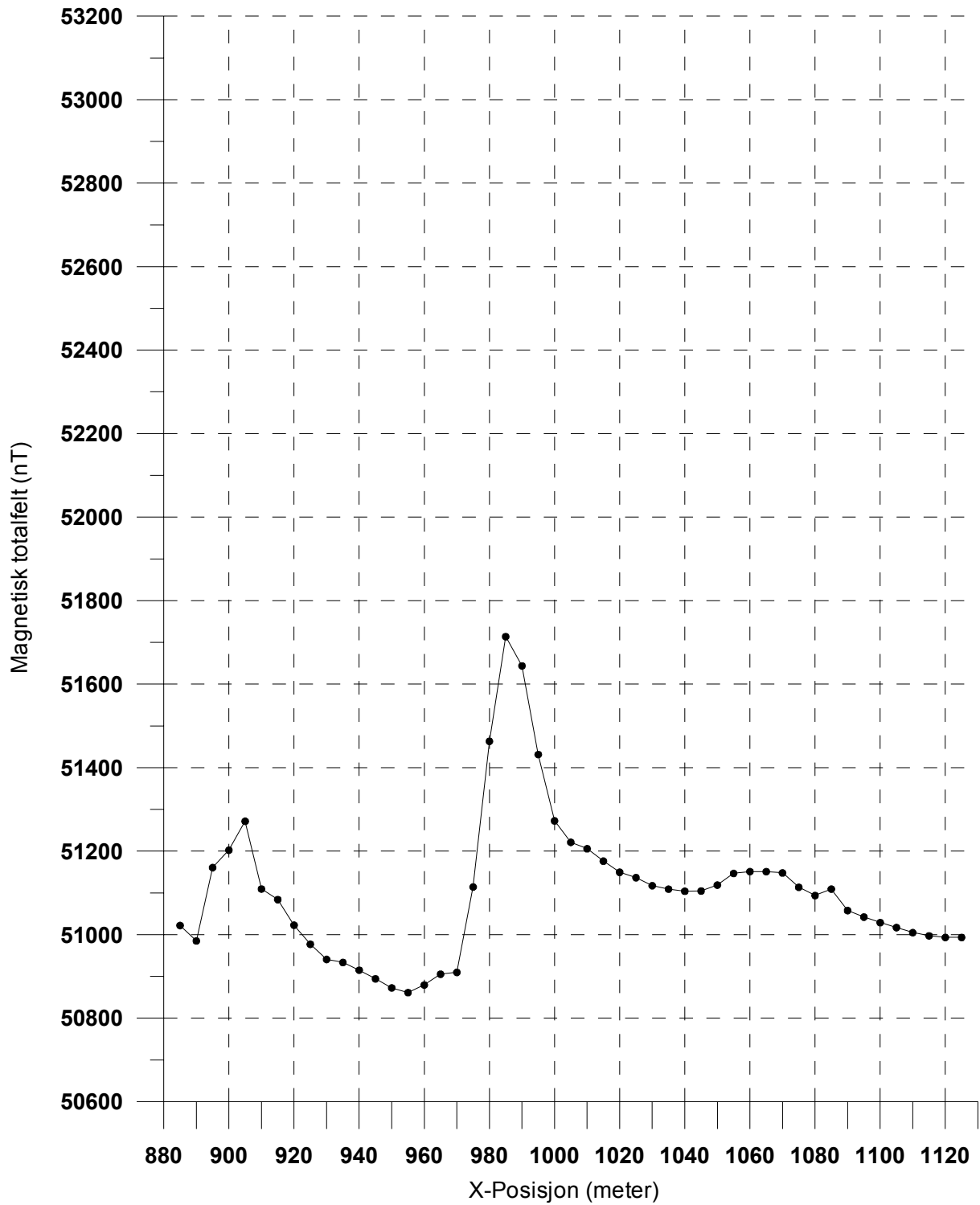
SOLEM KLEBERSTEINSFOREKOMST
Magnetisk totalfelt
Profil 900Y



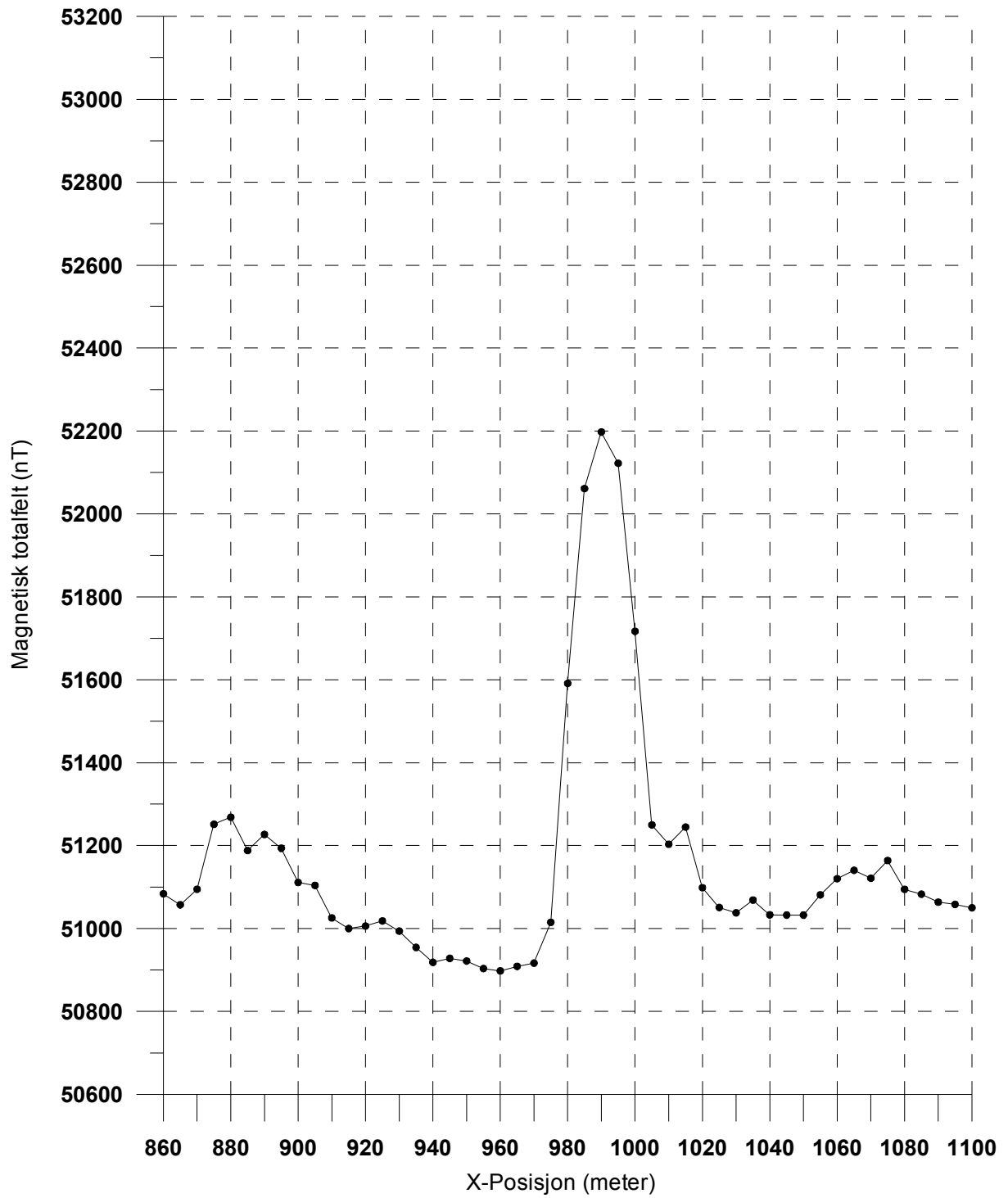
SOLEM KLEBERSTEINSFOREKOMST
Magnetisk totalfelt
Profil 925Y



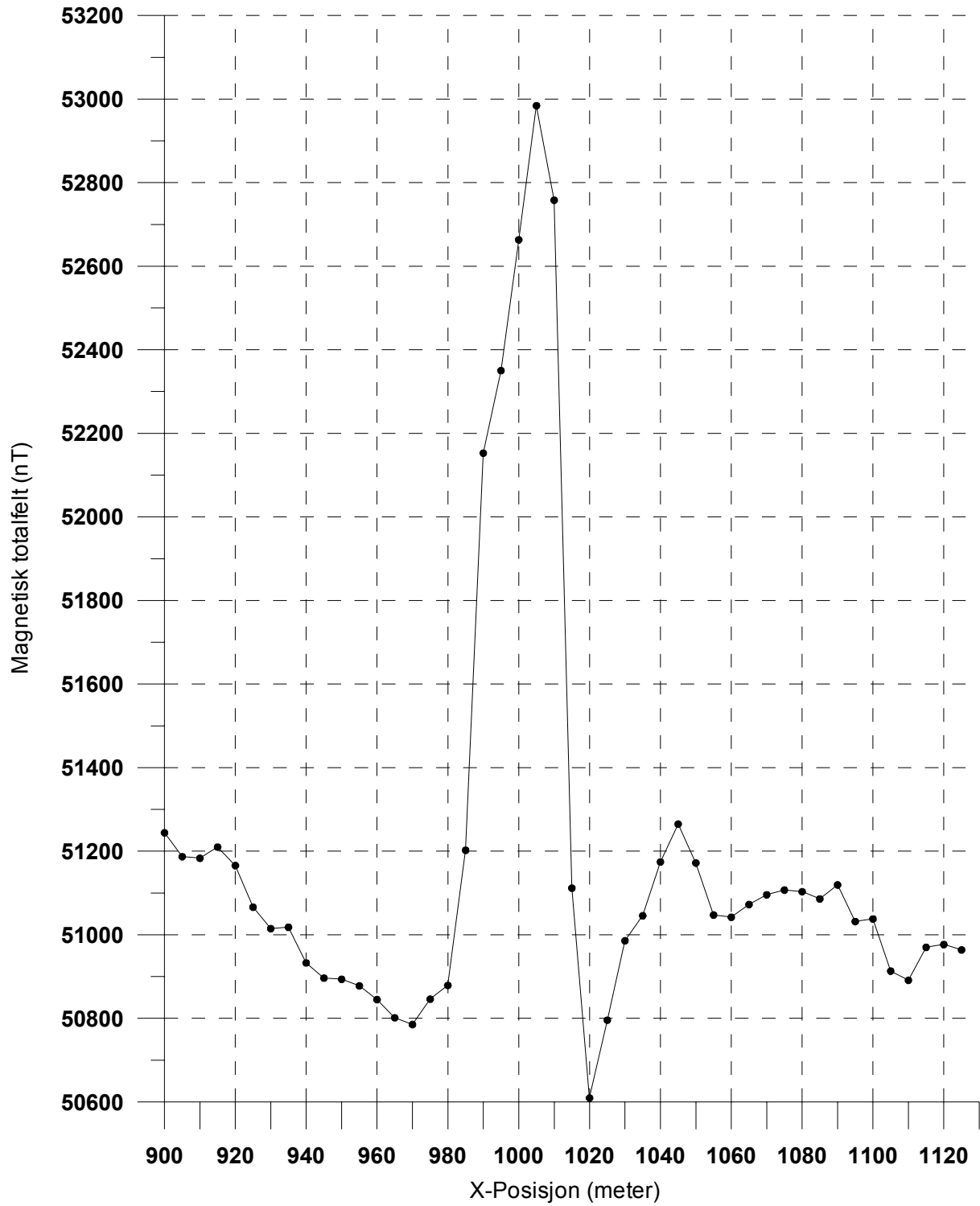
SOLEM KLEBERSTEINSFOREKOMST
Magnetisk totalfelt
Profil 950Y



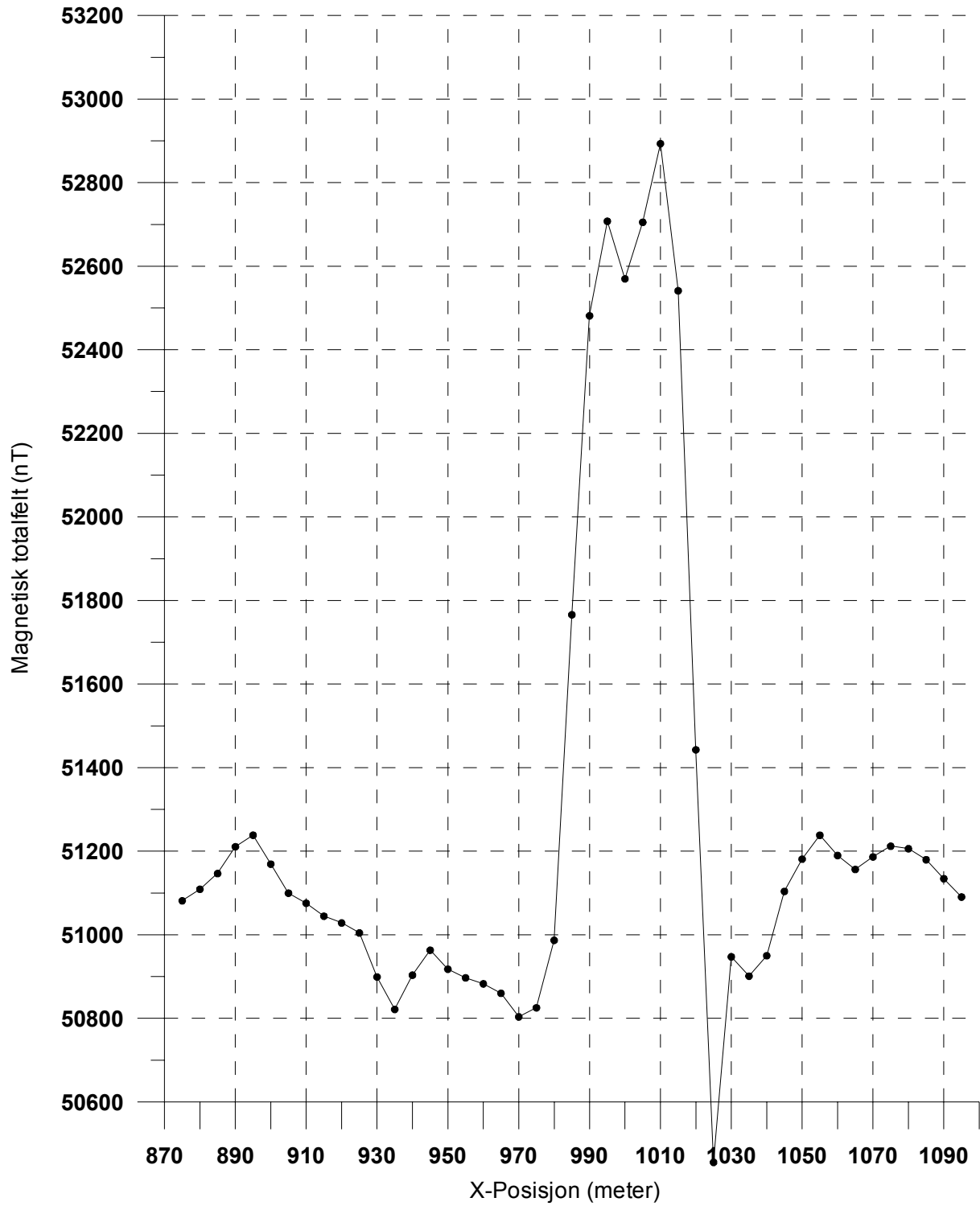
SOLEM KLEBERSTEINSFOREKOMST
Magnetisk totalfelt
Profil 975Y



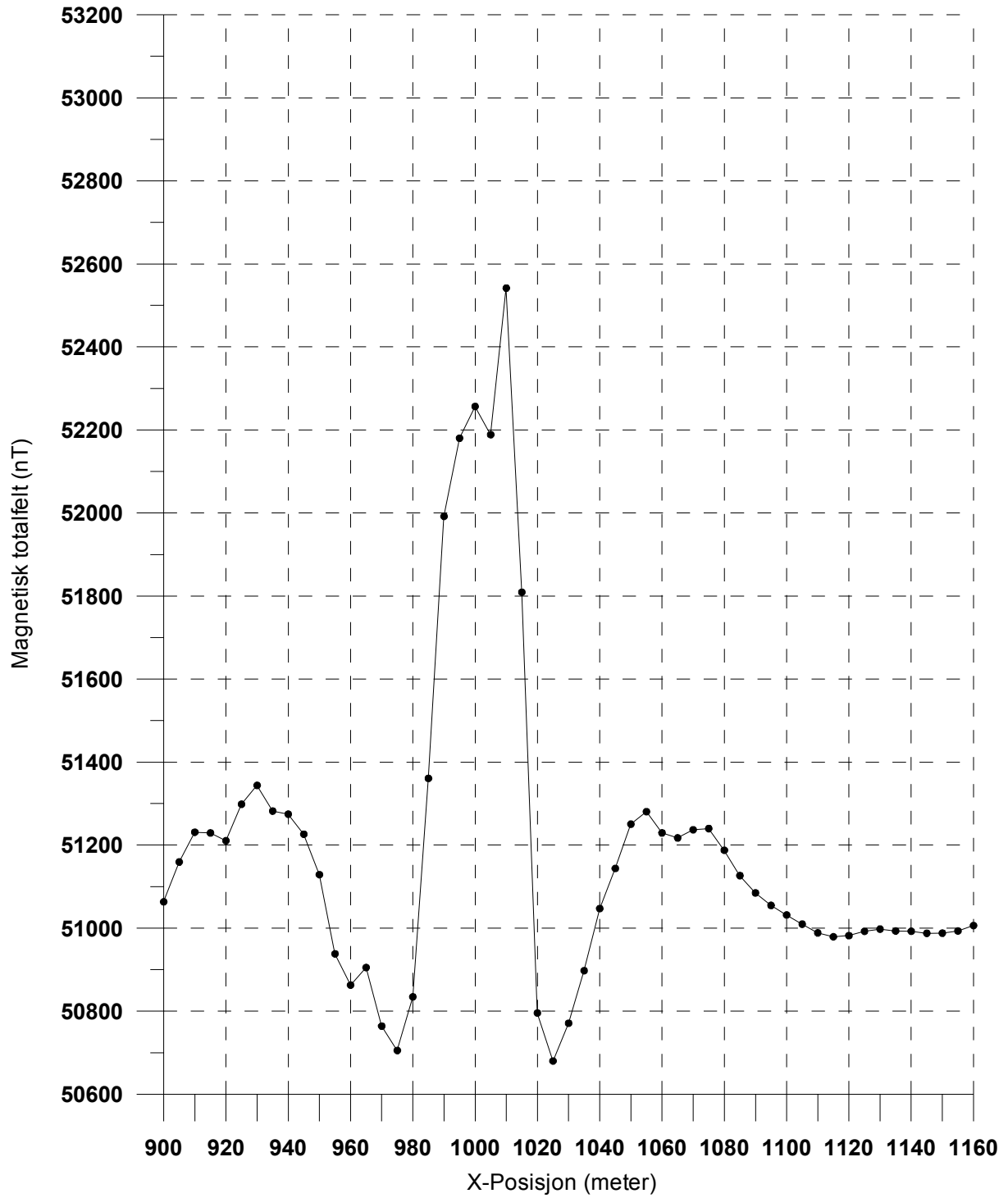
SOLEM KLEBERSTEINSFOREKOMST
Magnetisk totalfelt
Profil 1000Y



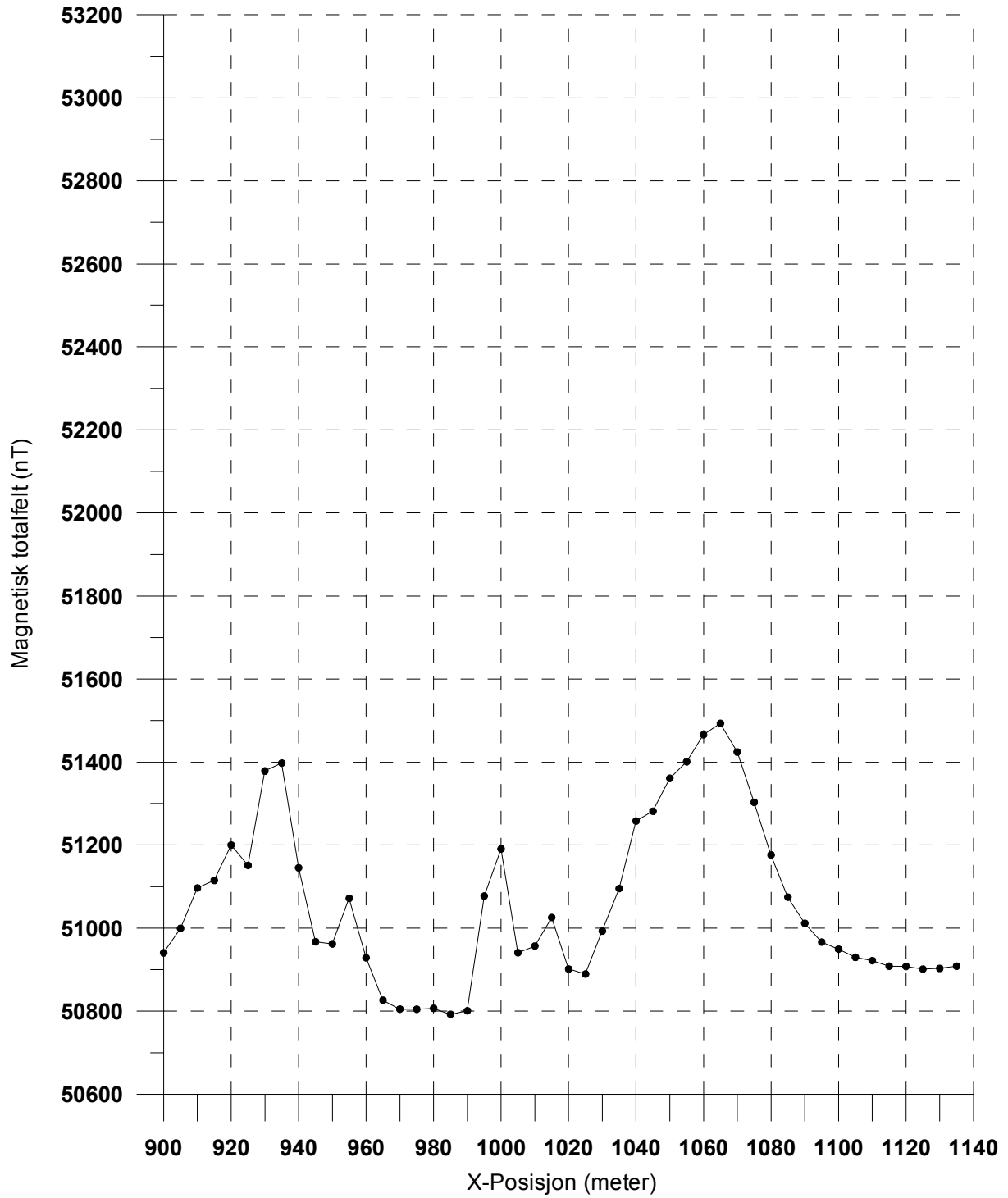
SOLEM KLEBERSTEINSFOREKOMST
Magnetisk totalfelt
Profil 1025Y



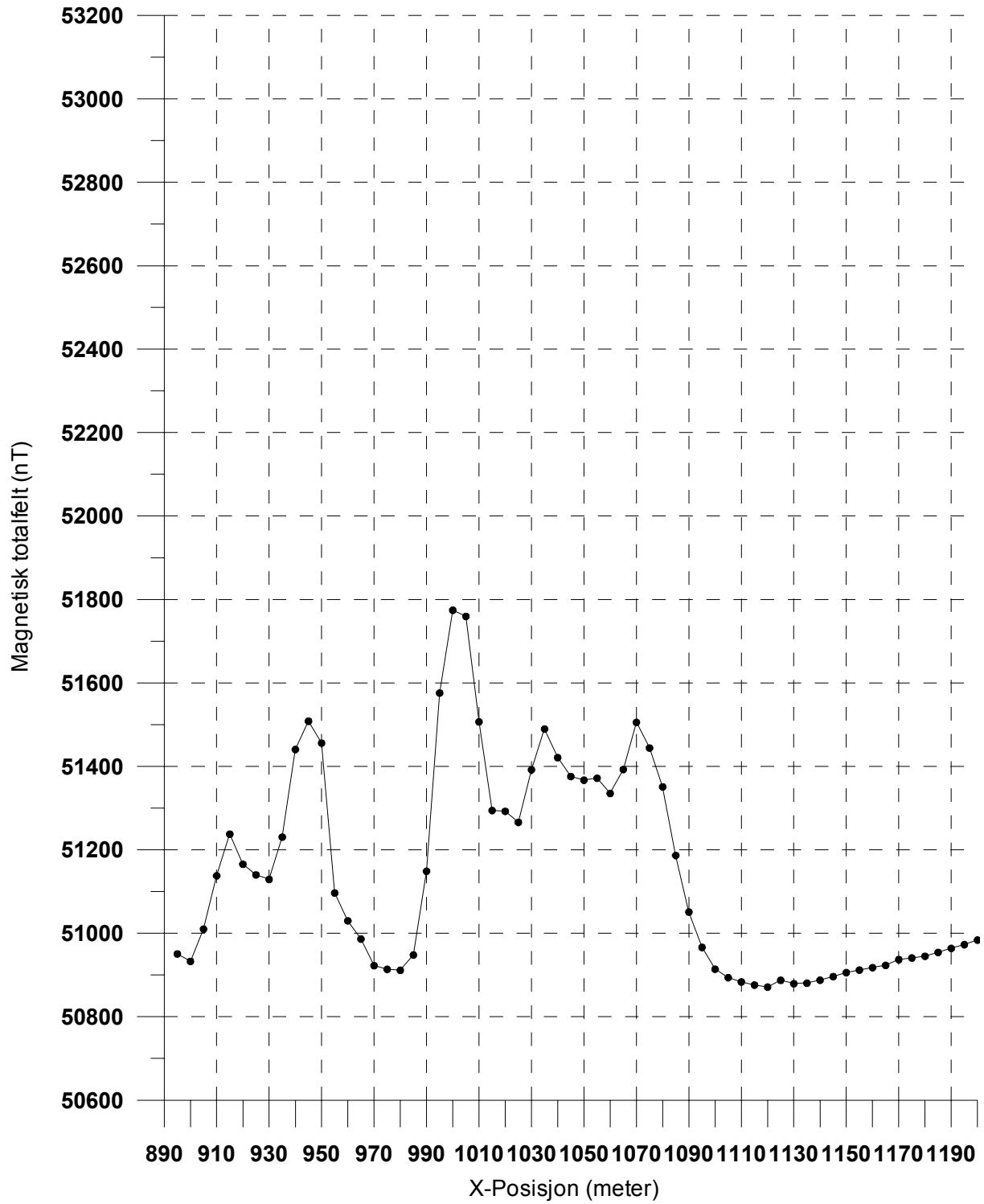
SOLEM KLEBERSTEINSFOREKOMST
Magnetisk totalfelt
Profil 1050Y



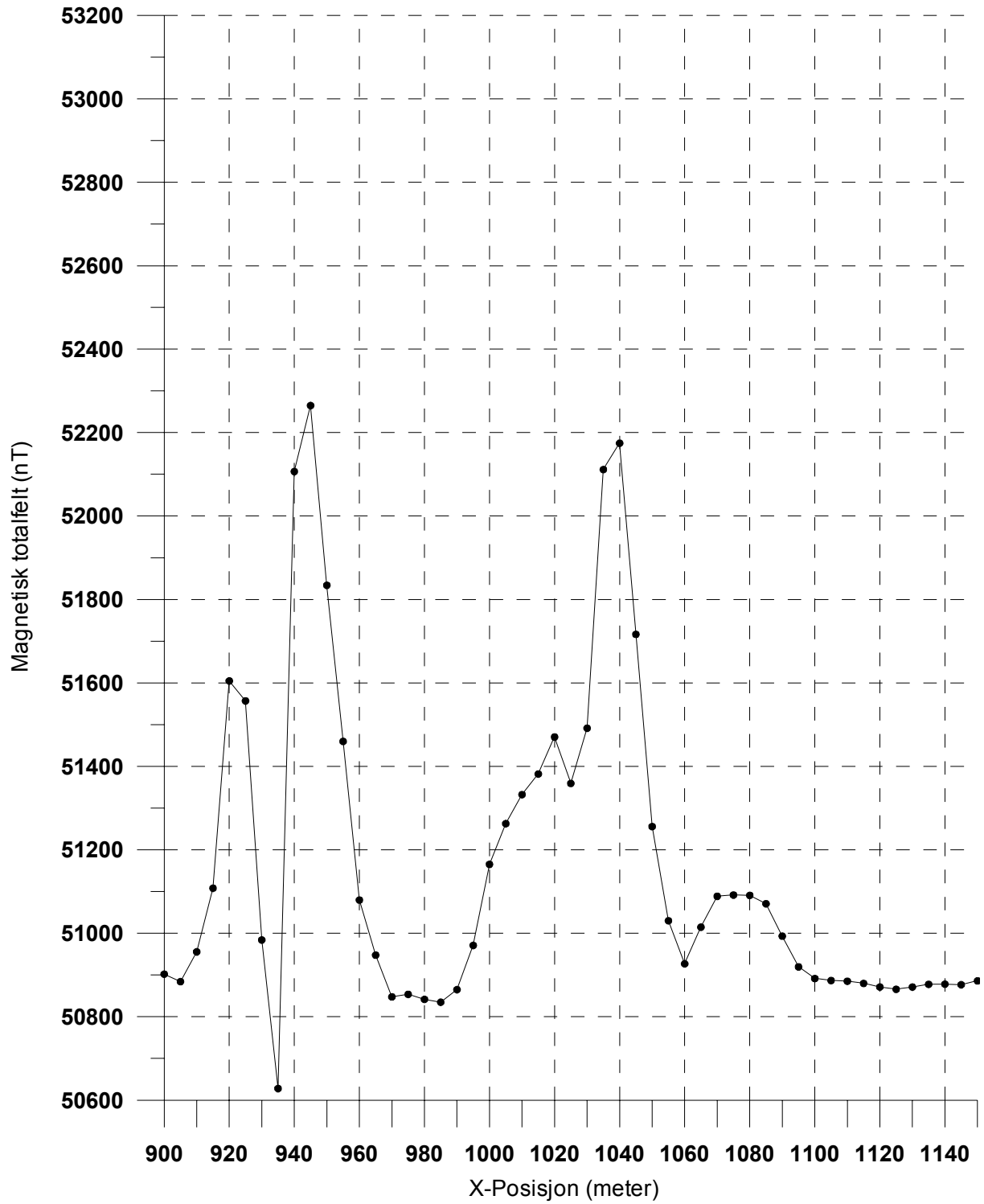
SOLEM KLEBERSTEINSFOREKOMST
Magnetisk totalfelt
Profil 1075Y



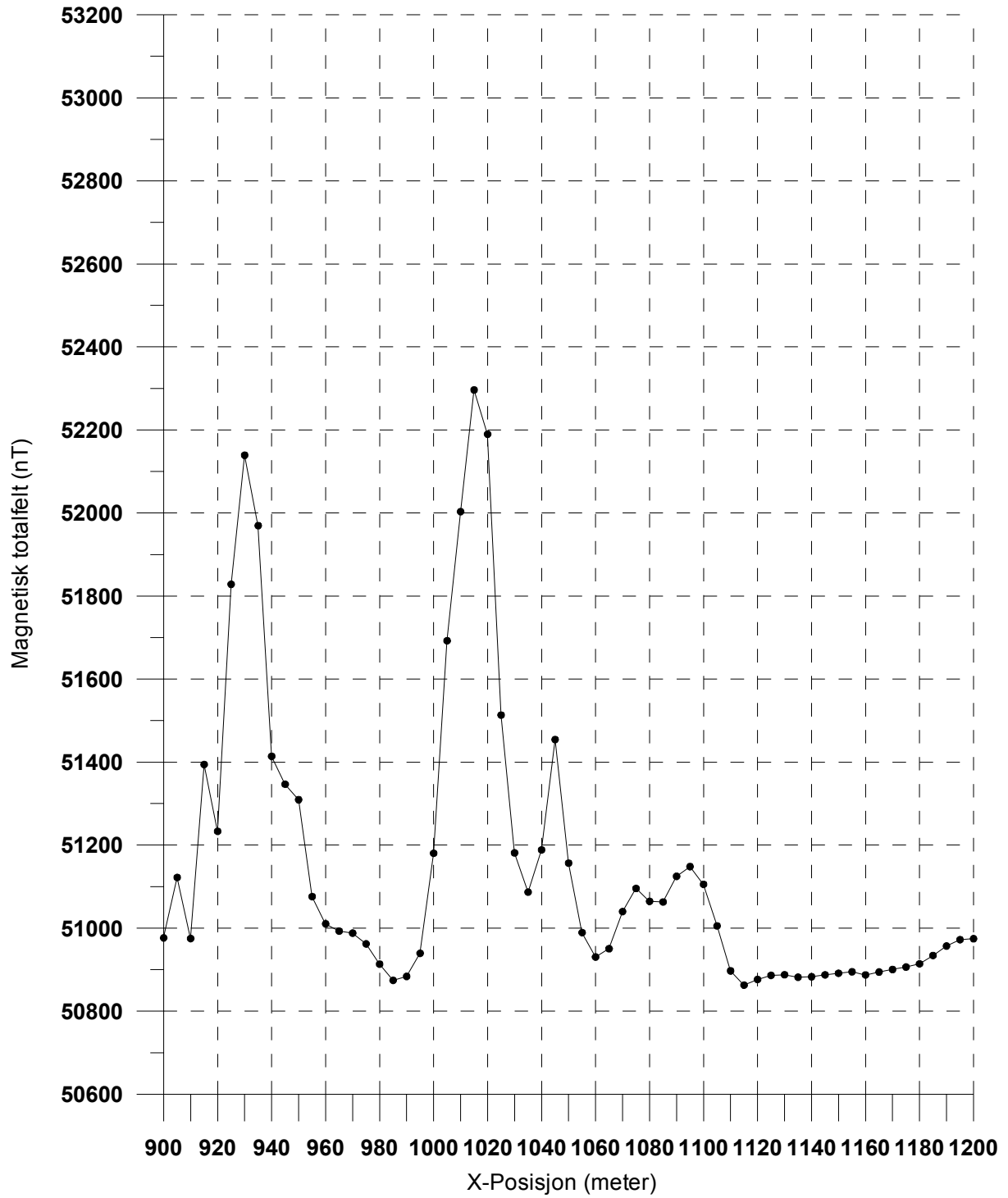
SOLEM KLEBERSTEINSFOREKOMST
Magnetisk totalfelt
Profil 1100Y



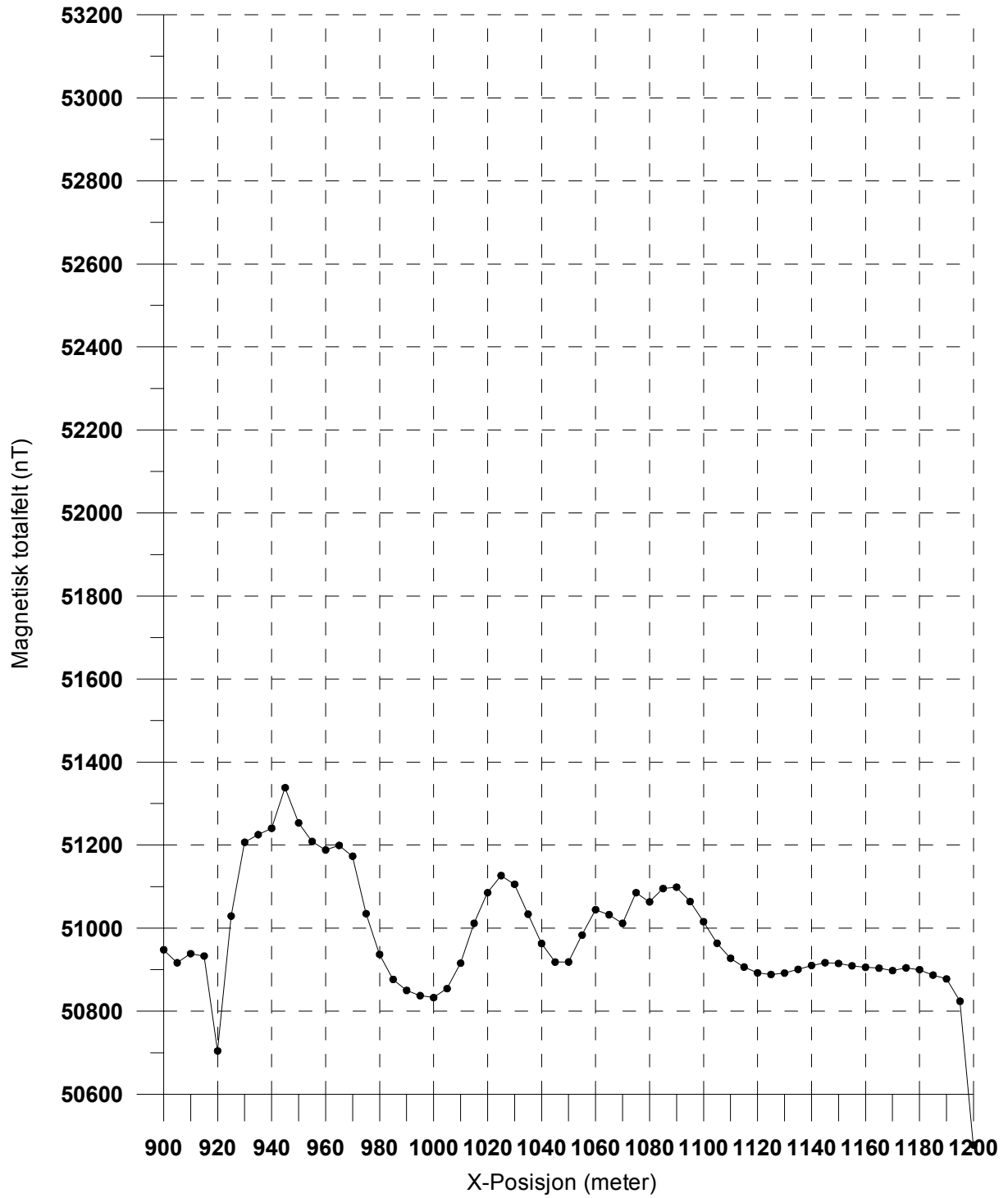
SOLEM KLEBERSTEINSFOREKOMST
Magnetisk totalfelt
Profil 1125Y



SOLEM KLEBERSTEINSFOREKOMST
Magnetisk totalfelt
Profil 1150Y



SOLEM KLEBERSTEINSFOREKOMST
Magnetisk totalfelt
Profil 1200Y



SOLEM KLEBERSTEINSFOREKOMST
Magnetisk totalfelt
Profil 1275Y

